

RC版の衝撃挙動に関する実験的研究

神戸大学工学部
神戸大学工学部
住友金属工業(株)
神戸大学大学院
(株) 大林組

藤井 学
宮本文穂
尾形龍夫
○池尾孝司
松中一郎

1. まえがき

海洋コンクリート構造物の多様化、高架橋高欄等へのコンクリートの使用によって道路橋RC床版のみならず、衝撃的な荷重作用をうけるコンクリートは多くなっている。しかし、鋼纖維、膨張材、メッシュ筋等を組み合わせたコンクリート版の耐衝撃性に関する研究が少ないので現状である。そこで本研究は鉄筋コンクリート床版を基準として鋼纖維、膨張材、メッシュ筋が主に耐衝撃性にいかに貢献するかを、特に静的および衝撃韧性の向上、コンクリート破片の飛散防止、ひびわれの分散に対する貢献に着目し、実験的に明らかにすることを目的としている。

2. 実験概要

1)供試床版 表1に示す5種類の床版について静的および衝撃試験を行なうものとする。供試床版は $130 \times 130 \times 13$ cmの正方形版で支間長120cmでスパン単純支持とした。配筋図を図1に示す。

2)コンクリートの配合および使用材料 実験に用いたコンクリートは設計基準強度300kg/cm²であり、その配合を表2に示す。メッシュ筋は線径2.6mm、網目寸法50mmの溶接金網を、鋼纖維はISファイバーを、膨張材はテンカCSAを用いた。

3)実験方法

(a)静的試験 門型載荷装置を用い、油圧ジャッキにより床版中央に設置した載荷板(15×15cm)に荷重を加えた。荷重段階は、上限2tonずつ増加させ、下限を0tonとする繰り返し載荷とし、各荷重段階で10回繰り返して。

(b)衝撃試験 図2に示す装置を用い、所定の位置から重量500kgの重錠を振り子式で落下させて衝撃力をとして作用させた。載荷位置には載荷板(15×15cm)とゴム板(15×15×1cm)を重ねて固定した。重錠の落下高さは原位置から5cmピッチで上げていき各高さで10回繰り返す。

4)測定項目 静的試験では図1に示す測点でのたわみおよび

表1 床版の種類と記号

	衝撃	静的
鉄筋コンクリート床版	RC-1	RC-2
鋼纖維を組み入れた鉄筋コンクリート床版	FRC-1	FRC-2
“および膨張材を組み入れた。”	CFRC-1	CFRC-2
上面にメッシュ筋を配置した。	IMRC-1	IMRC-2
下面にメッシュ筋を配置した。	2MRC-1	2MRC-2

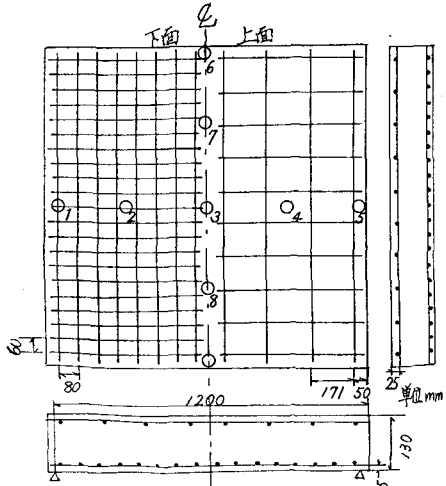
表1 配筋図および測点
測点1,2,9 静的試験
測点3,8,9 震動試験
測点6,7,3,2,1衝撃加速度

表2 示方配合表

	RC	IMRC 2MRC	FRC	CFRC
CSA混率(%)	0	0	13	
鋼纖維混入率(%)	0	15	15	
セメント比(%)	46	46	46	
細骨材率(%)	38	38	38	
単セメント	322	322	280	
CSA	0	0	42	
水	148	148	148	
粗骨材	1133	1108	1107	
細骨材	703	688	687	
鋼纖維	0	118	118	
引張水剤	875	875	875	

FUJII, MANABU, MIYAMOTO, AYANO, OGATA, TATSUO, IKEO, TAKASHI, MATSUNAKA, ICHIROO.

鉄筋ひすみ、衝撃試験ではそれに加えて図1に示す測定点での加速度を測定した。

3. 実験結果および結論

表3に主な実験結果の一覧を示す。本研究で得られた結論を以下に記す。

(1)表3より、鋼纖維は静・衝撲荷重下でひびわれ発生を遅らせ、版のせん断抵抗を増し破壊形式をせん断から曲げに移行させる。また図3は衝撲破壊後の床版下面のひびわれ状況を一例としてRC, FRC床版について示したもので

鋼纖維の混入により降伏線の数が増し、降伏機構に変化を与える。

(2)表4は静荷重20tonにおける各床版の割線剛性を求めたもので、鋼纖維、メッシュ筋は版の剛性を高め、たわみを減少させる。

(3)表5は変位分布より主、配筋方向の破壊時における曲率を求めたもので、鋼纖維は版の塑性変形能を向上させる。また衝撲荷重は静荷重と比較して鋼纖維、メッシュ筋の効果で、配筋方向の曲率が増加し床版全体で荷重をうけもつていると考えられる。

(4)重錐の衝突速度、はね返り速度および質量を v_1, v_2, m とすると重錐の損失エネルギー D_0 は $D_0 = \frac{1}{2}mv_1^2(v_1 - v_2)$ となり、これは近似的に吸収エネルギーとみなせる。図4は D_0 と落下高さの関係を示したものであり、CFRC, IMRC, 2MRC床版はエネルギー吸収特性が非常に類似している。

(5)メッシュ筋の下面配置と両面配置との差異は、後者の床版の剛性が鋼纖維を混入したものと同程度まで高くなっていること、およびひびわれ分散の効果がより顕著であるといふ点にみられる。

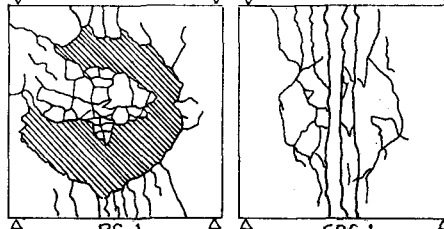


図3 破壊後のひびわれ状況(衝撃)

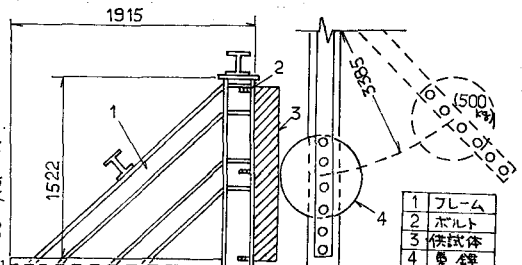


図2 衝撃試験装置(単位mm)

表3 実験結果

	σ_c (kg/cm ²)	σ_s (kg/cm ²)	E_c (kg/cm ²)	荷重 (t)	DC時間 Pcr(t)	DC距離 Hor(cm)	破壊荷重 Puc(t)	破壊高さ Huc(m)	吸収速度係数 初期 距離	破壊形式
RC	-1 255	26.9	3.3×10^5	17	16.9	10	25.8	35	88 97	せん断
	-2 "	"	"	14	8.0	—	23.0	—	87 95	"
FRC	-1 398	46.3	2.9×10^5	13	22.0	15	33.8	100	— —	曲げ
	-2 "	"	"	10	12.0	—	29.2	—	72 —	"
CFRC	-1 435	550	2.9×10^5	19	18.1	15	36.2	170	75 —	"
	-2 "	"	"	17	12.0	—	28.5	—	79 —	"
IMRC	-1 385	29.1	3.3×10^5	12	13.5	10	30.3	150	— —	"
	-2 "	"	"	10	12.8	—	28.7	—	100 —	せん断
2MRC	-1 317	30.3	3.4×10^5	14	14.3	10	25.7	45	79 85	曲げ
	-2 "	"	"	12	10.0	—	28.0	—	85 —	"

表4 割線剛性(単位t/mm) 表5 破壊時の曲率(単位/mm)

回数 床版名	1回目		10回目		$1/v_1$ (せん断)	$1/v_1$ (曲げ)
	床版名	1回目	10回目	床版名	1回目	
RC-2	3.36	302	—	—	4.13×10^{-5}	2.39×10^{-5}
	(1.00)	(1.00)	—	—	2.96×10^{-5}	2.73×10^{-5}
FRC-2	5.64	5.29	—	—	1.23×10^{-4}	6.33×10^{-5}
	(1.68)	(1.53)	—	—	1.73×10^{-4}	4.24×10^{-5}
CFRC-2	5.64	5.32	—	—	1.25×10^{-4}	9.88×10^{-5}
	(1.68)	(1.96)	—	—	1.13×10^{-4}	2.76×10^{-5}
IMRC-2	4.73	4.49	—	—	1.17×10^{-4}	3.74×10^{-5}
	(1.41)	(1.49)	—	—	2.948×10^{-5}	3.42×10^{-5}
2MRC-2	5.60	4.73	—	—	8.82×10^{-5}	7.53×10^{-5}
	(1.49)	(1.57)	—	—	2.82×10^{-5}	3.32×10^{-5}

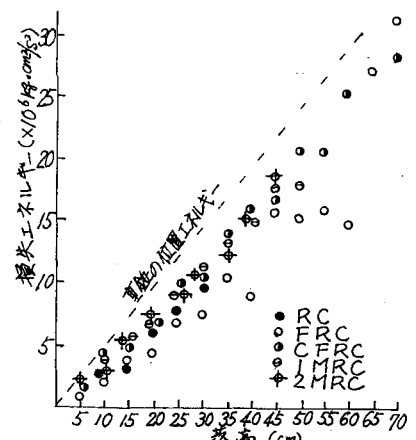


図4 損失エネルギーと落高の関係